

บทวิทยาการ

ความเที่ยงตรงในการใช้งานเครื่องสำรวจความข่านในปากชนิดใหม่ที่สร้างจากการพิมพ์สามมิติ:
การศึกษาในมนุษย์

Usage accuracy of the Newly Developed 3D-printed Intraoral Surveyor:
An *In Vivo* Study

ธนาภรณ์ มหาสุรชัยกุล¹ และ สุพาณี บูรณธรรม¹

Tanaporn Mahasurachaikul¹ and Supanee Buranadham¹

¹ภาควิชาทันตกรรมประดิษฐ์ คณะทันตแพทยศาสตร์ มหาวิทยาลัยสงขลานครินทร์ จ.สงขลา ประเทศไทย

¹Department of Prosthetic Dentistry, Faculty of Dentistry, Prince of Songkla University, Songkhla, Thailand

บทคัดย่อ

การศึกษานี้มีวัตถุประสงค์เพื่อศึกษาความเที่ยงตรงในการใช้เครื่องสำรวจความข่านในปากชนิดใหม่ในปาก โดยเครื่องสำรวจความข่านในปากชนิดใหม่ที่ใช้ทำการปรับปรุงและพัฒนาจากเครื่องมือของ Doungtraiphop และคณะ สร้างขึ้นหล่อบนและล่างจากอาสาสมัคร จำนวน 3 ราย โดยให้ผู้เชี่ยวชาญสาขาทันตกรรมประดิษฐ์จำนวน 1 คน ทำการวดเส้นสำรวจบนฟันที่กำหนดตามแนวการสำรวจที่กำหนดไว้ ด้วยเครื่องสำรวจความข่านแบบดึงเดิมของเนย์ ได้เส้นสำรวจอ้างอิง (Sr) และทำการสแกนขึ้นหล่อทั้ง 6 ชิ้นเป็นไฟล์ อ้างอิง ให้นักศึกษาทันตแพทย์เฉพาะทางสาขาทันตกรรมประดิษฐ์อาสาสมัครจำนวน 3 คน ใช้เครื่องสำรวจความข่านในปากชนิดใหม่ ตามแนวการสำรวจที่กำหนดไว้ ทำการสำรวจฟันในช่องปากอาสาสมัครได้เส้นสำรวจในปาก (Si) เมื่อเสร็จสิ้นการสำรวจ ทำการสแกนฟันที่มีเส้นสำรวจด้วยเครื่องพิมพ์แบบสามมิติ ทำความสะอาดฟันอาสาสมัครเมื่อเปลี่ยนทันตแพทย์อาสาสมัครผู้ใช้เครื่อง จับคู่ช้อนทับไฟล์ สแกนในช่องปากกับไฟล์อ้างอิงและทำการจับภาพหน้าจอ นำภาพมาวิเคราะห์ความสอดคล้องของเส้นสำรวจ Si และ Sr ในแต่ละด้านศึกษา ผลการศึกษาพบเส้นสำรวจที่ไม่ซัด ร้อยละ 3.01 ของด้านศึกษาทั้งหมด พบรการซ่อนทับของเส้น Si และ Sr อย่างสมบูรณ์ตลอดเส้น ร้อยละ 80.56 ของด้านศึกษาทั้งหมด และค่าสหสมัพนธ์ภายใต้ชั้นของเส้น Si และ Sr เท่ากับ 0.949 แสดงให้เห็นว่าเส้นสำรวจที่ได้จากการใช้เครื่องสำรวจความข่านในปากชนิดใหม่มีความสอดคล้องกับเส้นสำรวจที่ได้จากการใช้เครื่องสำรวจความข่านแบบดึงเดิม ในระดับมาก ภายใต้ข้อจำกัดของการศึกษานี้สรุปได้ว่า เครื่องสำรวจความข่านในปากชนิดใหม่มีความเที่ยงตรงอยู่ในระดับสูง และให้ลักษณะเส้นสำรวจในปากที่ใกล้เคียงกับเส้นสำรวจที่ได้จากเครื่องสำรวจความข่านแบบดึงเดิม

คำสำคัญ : เครื่องสำรวจความข่าน, เครื่องสำรวจความข่านในปาก, ความเที่ยงตรงของเส้นสำรวจ

Abstract

The objective of this study was to evaluate the in vivo accuracy of a newly developed 3D-printed intraoral surveyor, initially proposed by Doungtraiphop et al. The surveyor had been modified to enhance its functionality. For each of the three subjects, a set of upper and lower study models was created. A prosthodontist was asked to use a Ney surveyor to draw survey lines (Sr) on designated teeth in each model at a predetermined path. All models were digitally scanned to serve as reference files. Three prosthetic graduate students then used the intraoral surveyor to draw survey lines (Si) on the assigned tooth surfaces along the same path for each subject. Both arches were scanned with an intraoral scanner immediately after each student's surveying procedure, and the teeth were cleaned with pumice before another operator conducted the next surveying procedure. Each digitally scanned file was superimposed onto its corresponding reference file in the same position. Images of the studied surfaces were captured to evaluate the agreement between Si and Sr lines on each assigned tooth surface. The study found

that ill-defined Si lines appeared on 3.01 percent of the studied tooth surfaces, while complete overlapping of Si and Sr lines was observed on 80.56 percent of the surfaces. The agreement between Si and Sr lines was excellent, with an intraclass correlation coefficient of 0.949. Within the study's limitations, it was concluded that the newly developed intraoral surveyor was highly accurate in creating survey lines intra-orally, providing similar results to those of a conventional surveyor.

Keywords: Surveyor, Intraoral surveyor, Survey line validity

Received date: July 29, 2024

Revised date: Oct 23, 2024

Accepted date: Oct 30, 2024

Doi: 10.14456/jdat.2025.4

ติดต่อเกี่ยวกับบทความ:

สุพาณี บุราณธรรม, สาขาวิชานัตเต้ฟายศัลยศาสตร์ มหาวิทยาลัยสงขลานครินทร์ จ.สงขลา 90112 ประเทศไทย โทรศัพท์: 086-821-0824
โทรสาร: 074-429874 อีเมล: bsupanee@hotmail.com

Correspondence to:

Supanee Buranadham, Department of Prosthetic Dentistry, Faculty of Dentistry, Prince of Songkla University, Hatyai, Songkhla, 90112 Thailand. Tel: 086-821-0824 Fax: 074429874 Email: bsupanee@hotmail.com

บทนำ

การทำพันเที่ยมบางส่วนถอดได้ จำเป็นต้องมีการกรอแต่งพันธรรมชาติเพื่อให้ได้เคารูปพันหลักที่เหมาะสมในการรองรับส่วนประกอบต่าง ๆ ของพันเที่ยม เพื่อให้ได้ถูกการใส่พันเที่ยม (path of insertion) ตามที่วางแผนและได้พันเที่ยมที่มีประสิทธิภาพ บ่อยครั้ง ที่ทันตแพทย์กรอบรับรูปร่างพันได้ไม่สอดคล้องตามที่วางแผนทำให้ช่างทันตกรรมไม่สามารถถ่วงส่วนประกอบต่าง ๆ ในตำแหน่งที่เหมาะสมได้ ส่งผลให้พันเที่ยมไม่มีประสิทธิภาพเท่าที่ควร วิธีหนึ่ง ที่ทันตแพทย์นิยมใช้ในการตรวจสอบขั้นตอนดังกล่าว คือ การพิมพ์แบบเพื่อนำไปเท็จชั้นหล่อ (cast) มาสำรวจด้วยเครื่องสำรวจความขนานนอกปาก¹ หรือในปากจุบันใช้เครื่องพิมพ์แบบดิจิทัลสร้างรอยพิมพ์แบบดิจิทัลที่สามารถตรวจสอบโดยใช้ซอฟต์แวร์ในคอมพิวเตอร์²⁻⁴ เมื่อพบว่าลักษณะเส้นสำรวจที่ได้ยังไม่เหมาะสม ทันตแพทย์ต้องนัดผู้ป่วยมาทำการกรอบรับแต่งพันเพิ่มเติม⁵ อย่างไรก็ตามในคลินิกส่วนใหญ่ไม่มีเครื่องสำรวจความขนานนอกช่องปากให้ใช้งาน ส่วนเครื่องพิมพ์แบบดิจิทัลยังมีการใช้งานจำกัดเนื่องจากมีราคาสูง

จากการบททวนวรรณกรรมพบว่ามีการศึกษาและออกแบบเครื่องมือช่วยในการสร้างแนวขนานในปาก (intraoral paralleling device) และเครื่องสำรวจความขนานในปาก (intraoral surveyor) เพื่อช่วยในการเตรียมพันในงานพันเที่ยมบางส่วนถอดได้ หรือพันเที่ยมบางส่วนถอดได้โดยวัสดุประสังค์ของเครื่องมือใช้เป็นแนวนำสำหรับกรอแต่งพัน⁵⁻¹³ ใช้ยึดกับเครื่องมือกรอแต่งพันเพื่อให้สามารถกรอแต่งรูปร่างได้โดยตรงตามแนวที่วางแผน¹⁴⁻¹⁶ หรือใช้สร้างเส้นสำรวจบนตัวพันโดยตรง¹⁷⁻²⁰ กลุ่มเครื่องมือที่สามารถใช้สร้างเส้นสำรวจ

บนตัวพันโดยตรง มีการนำด้ามแปรงต่าง ๆ มาดัดแปลงใช้งานแบบง่าย ๆ เช่น ประยุกต์ใช้ด้ามแปรงของพันกับไส้ดินสอสี¹⁹ หรือใช้ด้ามแปรงสีพันร่วมกับไส้ดินสอ (intraoral recontouring aid, IRA)¹⁸ ถ่ายทอดความสัมพันธ์ของพันหลักในชิ้นหล่อไปยังพันหลักในปากซึ่งจะได้รับการใส่พันเที่ยมโดยประมาณจากทิศทางการวางมือ

Doungtraiphop และคณะ¹⁷ ทดสอบความแม่นยำ (precision) ของการใช้เครื่องสำรวจความขนานในปากชนิดใหม่ในหัวหุ่นจำลอง โดยเปรียบเทียบลักษณะเส้นสำรวจบนชิ้นหล่อที่ได้จากเครื่องสำรวจความขนานในปากชนิดใหม่และที่ได้จากเครื่องสำรวจความขนานแบบดั้งเดิมของเนย พบร่วมกับการใช้งานของอาสาสมัครแต่ละคน ให้ค่าความแม่นยำของเครื่องมือในระดับดีมาก โดยพบว่า เครื่องสำรวจความขนานในปากชนิดใหม่สามารถใช้สำรวจความป่องนูนของพันในทุกด้านได้ไม่แตกต่างจากเครื่องสำรวจความขนานแบบดั้งเดิมเมื่ออุปกรณ์ในแนวสำรวจเดียวกัน สามารถใช้งานได้ครอบคลุมบริเวณต่าง ๆ ในปาก ทั้งในขากรรไกรบนและล่าง และสามารถใช้งานได้โดยผู้ใช้ที่แตกต่างกัน อย่างไรก็ตามผู้วิจัยได้รายงานถึงปัญหาต่าง ๆ ที่พบในการใช้งาน เช่น ไส้ดินสอหักขณะใช้งาน และข้อต่อต่าง ๆ ที่ทำจากเรซิโนนเม็ดแข็งแรง เป็นต้น นอกจากนี้ยังไม่มีการทดสอบการใช้งานจริงในมนุษย์

การศึกษานี้จึงมีวัตถุประสงค์เพื่อปรับปรุงพัฒนาเครื่องสำรวจความขนานของ Doungtraiphop และคณะ¹⁷ และทดสอบการใช้งานเครื่องสำรวจความขนานในปากชนิดใหม่ที่ปรับปรุงแล้วในมนุษย์ โดยเปรียบเทียบเส้นสำรวจที่วาดโดยตรงในปาก กับเส้น

สำรวจที่วัดด้วยเครื่องสำรวจความขานแบบดึงเดิมชนิดหล่อในแนวสำรวจเดียวกัน สมมติฐานของงานวิจัยนี้ คือ สេនสำรวจชนิดพื้นในปากจากการใช้เครื่องสำรวจความขานในปากชนิดใหม่ไม่แตกต่างจากสេนสำรวจชนิดพื้นหล่อจากการใช้เครื่องสำรวจความขานแบบดึงเดิมของเนย์

วัสดุและวิธีการ

งานวิจัยนี้ผ่านการรับรองจากคณะกรรมการจริยธรรมการวิจัยในมนุษย์ คณะทันตแพทยศาสตร์มหาวิทยาลัยสังขละกานครินทร์ เลขที่ EC6603-014

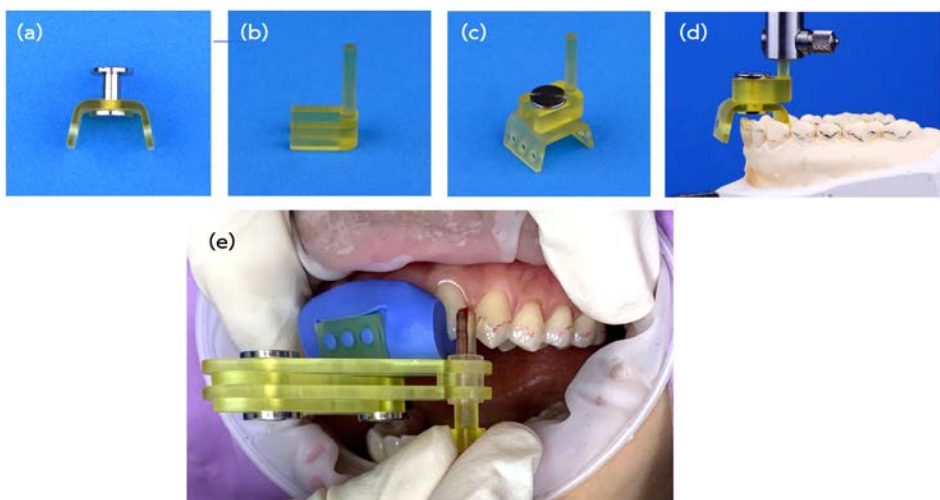
การปรับปรุงและการสร้างเครื่องสำรวจความขานในปากชนิดใหม่

เครื่องสำรวจความขานในปากชนิดใหม่นี้ปรับปรุงจากเครื่องสำรวจความขานของ Doungtraiphop และคณะ¹⁷ โดยประกอบด้วยอุปกรณ์หลัก 3 ส่วน ได้แก่ ถาดพิมพ์กำหนดตำแหน่ง (positioning tray) แขนเลื่อนที่คู่ (double sliding arms) และ อุปกรณ์กำหนดความขาน (parallelizing device) โดยเปลี่ยนอุปกรณ์

กำหนดความขานจากการใช้สีดินสอเป็นที่ยึดจับกระดาษกัดสบ (articulating paper) ทำการปรับและพิมพ์แบบส่วนประกอบต่าง ๆ ของชิ้นงานด้วยแอปพลิเคชัน Shapr3D (Shapr3DZrt., István Csanády, Budapest, Hungary) เป็นไฟล์สามมิติ นำไปพิมพ์พื้นรูปด้วยวัสดุเรซิโน่ (HT100 Heat-resistance Resin, Resione®, Dongguan Godsaid Technology Co., Guangdong, China) โดยใช้เครื่องพิมพ์สามมิติ (ASIGA MAX, Sydney, Australia) ประกอบขึ้นส่วนเข้ากับนอตโลหะ พร้อมใช้งานจะมีลักษณะดังแสดงในรูปที่ 1 และเมื่อกรุณากำหนดความขานจากเครื่องสำรวจความขานแบบดึงเดิม เรียกว่า เครื่องมือถ่ายโอน (transferring tool) ใช้ร่วมกับถาดพิมพ์กำหนดตำแหน่ง โดยใช้วัสดุพิมพ์แบบ裘ลิโคนชนิดพุตตี้ (Siligum-Putty impression material, DMG Chemisch-Pharmazeutische Corp., Hamburg, Germany) เมื่อนำไปปั้นกับฟันในช่องปากจะควบคุมให้เครื่องสำรวจความขานในปากชนิดใหม่อยู่ในแนวที่กำหนดดังแสดงในรูปที่ 2



รูปที่ 1 ส่วนประกอบของเครื่องสำรวจความขานในปากชนิดใหม่
Figure 1 Components of the newly developed intraoral surveyor



รูปที่ 2 การใช้ถาดพิมพ์กำหนดตำแหน่งและเครื่องถ่ายโอน; (a) ถาดพิมพ์กำหนดตำแหน่งยึดกับนอตโลหะ (b) เครื่องมือถ่ายโอน (c) ก้านถ่ายโอนแนวที่ยึดเข้ากับถาดพิมพ์กำหนดตำแหน่ง (d) ติดตั้งถาดพิมพ์กำหนดตำแหน่งเข้ากับแขนแนวตั้งของเครื่องสำรวจความขานแบบดึงเดิม โดยอยู่ในแนวตั้งจากกับระนาบการลับฟัน (e) การใช้งานเครื่องสำรวจความขานในปากชนิดใหม่ในปาก

Figure 2 Method to use positioning tray and transferring tool; (a) The positioning tray being attached to metal screw and nut, (b) The transferring tool, (c) The transferring tool being attached to the positioning tray, (d) The positioning tray attached to a vertical arm of a dental surveyor, perpendicular to the occlusal plane, (e) Intraoral usage of the newly developed intraoral surveyor

การศึกษาความเที่ยงตรงของเครื่องสำรวจความขานในปากชนิดใหม่ในมนุษย์

อาสาสมัครจำนวน 3 คน ที่มีฟันธรรมชาติทั้งปากหรือหายไปบางส่วน โดยพื้นไม่มีลักษณะการเสียที่ผิดปกติทั้งด้านบนเคี้ยว และด้านข้างโดยรอบของฟัน ลักษณะฟันมีความป่อง (เส้นสำรวจอยู่บนตัวฟันหรือห่างจากอุบัติท่อนอย่างน้อย 1 มิลลิเมตร) สามารถอ้าปากได้ปกติ ไม่มีปัญหาข้อต่อขารกรไกร พิมพ์แบบฟันบนและล่างของอาสาสมัครทั้ง 3 คน ด้วยอลจิเนต (Alginate, Alginoplast®, Kulzer, Hanau, Germany) และเทียนหล่อด้วยปลาสเตอร์ทินชนิดที่ 4 (Gypsum stone type IV, Atlas, Pink, Thailand) จำนวน 1 ชุด ต่อคน นำขึ้นหล่อของอาสาสมัครแต่ละคนมาติดตั้งบนเครื่องสำรวจความขานแบบดังเดิมของเนย์กำหนดวิถีการสำรวจ (surveying path) ให้ตั้งฉากกับระนาบการสบพื้น (occlusal plane) ให้ผู้เชี่ยวชาญสาขาหันตกรรมประดิษฐ์ 1 คน ใช้เครื่องสำรวจความขานแบบดังเดิม วัดเส้นสำรวจฟันบนขึ้นหล่อทั้ง 6 ชิ้นด้วยเส้นดินสอสีดำ จากนั้นสร้างดัชนี (index) บนถาดพิมพ์กำหนดตำแหน่ง จำนวน 3 ชิ้นต่อขากรรไกรตามแนวการสำรวจ (1 ชิ้นสำหรับหันตแพทย์แต่ละราย) โดยกำหนดตำแหน่งการวางถาดพิมพ์กำหนดตำแหน่ง แล้วซีฟันที่วัดเส้นสำรวจ ดังแสดงในตารางที่ 1 และนำขึ้นหล่อทั้งหมดไปสแกนด้วยเครื่องสแกนสามมิติทางห้องปฏิบัติการ (E4 lab scanner; Trios®, 3Shape A/S, Copenhagen, Denmark) เป็นไฟล์ภาพสามมิติ นามสกุล .dcm เส้นสำรวจที่วัดบนขึ้นหล่อ เรียกว่า เส้นสำรวจอ้างอิง (reference survey line, Sr)

ตารางที่ 1 ตำแหน่งการวางถาดพิมพ์กำหนดตำแหน่ง และด้านสำรวจบนชี้ฟันที่กำหนดในอาสาสมัครแต่ละราย

Table 1 Tray positions and studied surfaces of assigned teeth in each subject

Subject	Arches	Tray position	Assigned teeth		Total number of surfaces
			Buccal and lingual surfaces	Labial surfaces	
1	Ui	Incisal region	17, 16, 15, 14, 24, 25, 26	13, 23	16
	Li	Incisal region	37, 36, 35, 44, 45, 46, 47	33	15
2	Up	Canine-Premolar region	17, 16, 23, 25, 26, 27	11, 21, 22	15
	Lp	Canine-Premolar region	37, 36, 43, 45, 46, 47	41, 42	14
3	Um	Molar region	17, 16, 15, 14, 13, 23, 24	12, 11, 21, 22	18
	Lm	Molar region	37, 36, 35, 34, 33, 43, 44	32, 31, 41, 42	18

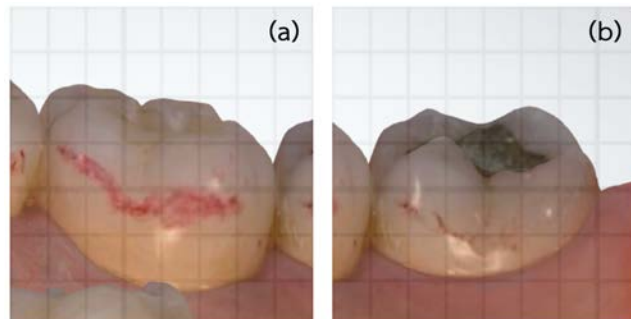
นักศึกษาหันตแพทย์เฉพาะทางสาขาหันตกรรมประดิษฐ์ อาสาสมัครจำนวน 3 คน ได้รับเอกสารประกอบการสาธิตรีกิริการใช้งาน และฝึกใช้เครื่องสำรวจความขานในปากชนิดใหม่ในเมเดลฟัน (dentoform) ก่อนทำในอาสาสมัคร ในการศึกษาจะสร้างเครื่องสำรวจความขานในปากชนิดใหม่ 1 เครื่องสำหรับอาสาสมัคร แต่ละราย ก่อนเริ่มการสำรวจชี้ฟันทำความสะอาดฟันอาสาสมัคร เปาลม และดูดน้ำลายให้บริเวณที่สำรวจแห้ง ติดตั้งแบบกระดาษหารอยสบพื้น (Bausch Arti-fol®, Nashua, USA) เข้ากับอุปกรณ์กำหนดความขานกำหนดให้หันด้านสีแดงออก ในการสำรวจจะให้หันตแพทย์อาสาสมัครสวมดัชนีบนถาดพิมพ์กำหนดตำแหน่ง ที่ได้รับสำหรับอาสาสมัครแต่ละรายให้เข้าที่กับฟัน และทำการสำรวจฟันในบริเวณที่กำหนดตามเอกสารชี้แจงที่ได้รับ เมื่อเสร็จสิ้นการสำรวจ ผู้วิจัยใช้เครื่องพิมพ์แบบสามมิติ (Trios®, 3Shape A/S, Copenhagen, Denmark) สแกนขารกรไกรตามคำแนะนำของบริษัท เป็นไฟล์ภาพสามมิติ นามสกุล .dcm โดยเส้นสำรวจที่วัดบนฟันโดยหันตแพทย์อาสาสมัครจะ เรียกว่า เส้นสำรวจในปาก (intra-oral survey line, Si) หลังจากนั้นผู้วิจัยทำความสะอาดฟันเช็ดเส้นสำรวจออก เปลี่ยนหันตแพทย์อาสาสมัครคนต่อไปโดย

ดำเนินกระบวนการเช่นเดิม หลังเสร็จสิ้นการใช้เครื่องสำรวจความขานในปากชนิดใหม่ให้หันตแพทย์อาสาสมัครและอาสาสมัครทำแบบสอบถามความพึงพอใจและข้อเสนอแนะเกี่ยวกับการใช้งาน การบันทึกข้อมูล

ใช้โปรแกรม 3Shape Dental System (3Shape A/S, Copenhagen, Denmark) จับคู่ระหว่างไฟล์ขึ้นหล่อและไฟล์สแกนในปากให้ซ้อนทับ (superimposed) กันสมบูรณ์ โดยปรับหมุนให้อยู่ในด้านที่ต้องการ จากนั้นนำภาพกริด (grid) ในรูปแบบไฟล์ .jpg มาซ้อนทับโดยใช้โปรแกรม Overlay2-1 (Colin Thomas Photography Ltd., London, United Kingdom) ปรับขนาดภาพกริดให้แบ่งฟันที่ศึกษาเป็น 6 ส่วนอย่างเท่ากันในแนวไกลกางไกลกาง (mesio-distal) จับภาพหน้าจอ (screen capture) ได้ภาพสองมิติในรูปแบบไฟล์ .jpg โดยทุกภาพของแต่ละด้านที่มีเส้นสำรวจจะมีลักษณะเดียวกัน และมีขนาดเท่ากัน นำภาพสองมิติไปวิเคราะห์และบันทึกข้อมูลโดยใช้โปรแกรม ImageJ (Rasband, W.S., U.S. National Institute of Health, Bethesda, Maryland, USA) ดังนี้ 1) ตรวจสอบความซัดของเส้นสำรวจในแต่ละด้านศึกษาดังแสดงในรูปที่ 3 โดยลักษณะของเส้นที่ซัดគือ สามารถมองเห็นขอบเขตความหนาของ

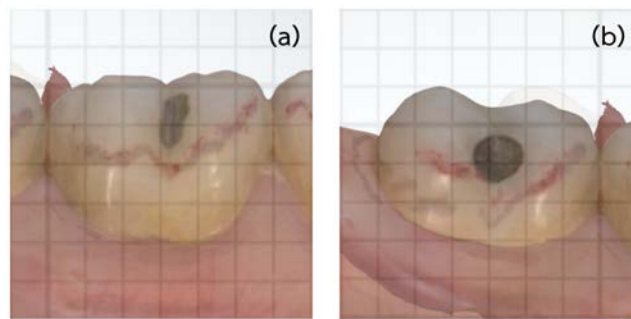
เลี้นโดยที่ไม่ต้องทำการขยายภาพ 2) ตรวจสอบลักษณะการซ้อนทับของเส้น Si และ Sr ในแต่ละด้านศึกษาดังแสดงในรูปที่ 4 โดยกำหนดว่าลักษณะของเส้นที่มีการซ้อนทับคือ จุดกึ่งกลางความหนาของเส้นห่างกันในแนวเดิ่งไม่เกิน 0.5 มิลลิเมตร 3) วัดระยะในแนวเดิ่ง

จากจุดอ้างอิงปลายพื้นด้านบนเคี้ยวไปยังจุดกึ่งกลางความหนาของเส้น Si และ Sr ในตำแหน่งใกล้กลาง (M) กึ่งกลาง (Mid) และไกลกลาง (D) ของพื้นตามแนวทางพาริเดิ่งแสดงในรูปที่ 5



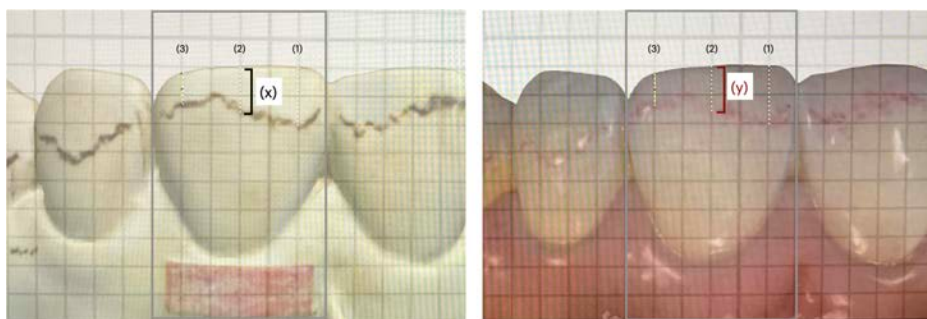
รูปที่ 3 ตัวอย่างเส้นสำรวจน้ำ Si บนพื้นทางด้านลิ้น; (a) มีความชัดของเส้นสำรวจน้ำดี (b) มีเส้นสำรวจน้ำที่ไม่ชัด บริเวณกึ่งกลางและใกล้กลาง 1/3

Figure 3 Examples of Si line on lingual surface of a tooth; (a) well-defined line, (b) ill-defined line in middle and distal 1/3 regions



รูปที่ 4 ตัวอย่างการซ้อนทับของเส้น Si (แดง) และ Sr (ดำ) บนพื้นทางด้านแก้ม; (a) มีการซ้อนทับอย่างสมบูรณ์และ (b) มีการซ้อนทับไม่สมบูรณ์ โดยเส้น Si อยู่เหนือเส้น Sr บริเวณกึ่งกลางและใกล้กลาง 1/3

Figure 4 Examples of Si (red) and Sr (black) lines overlapping on buccal surface of a tooth; (a) complete overlapping, (b) incomplete overlapping with Si line located above Sr line in middle and distal 1/3 regions



รูปที่ 5 การวัดระยะในแนวเดิ่งของเส้นสำรวจน้ำขึ้นหล่อและพื้นของอาสาสมัคร โดยจุดอ้างอิง (1), (2), และ (3) คือจุดอ้างอิงปลายพื้นด้านบนเคี้ยวที่ใช้ในการวัดตำแหน่งใกล้กลาง กึ่งกลาง และไกลกลาง ตามลำดับ และระยะ (x) และ (y) คือระยะจากจุดอ้างอิงถึงกึ่งกลางเส้น Sr (ดำ) และ Si (แดง) ตามลำดับ

Figure 5 The vertical distance measurements of a survey line on a study model and a subject: (1), (2), and (3) are the reference points used to measure the distance at mesial, middle and distal regions, respectively. (x) and (y) are the vertical distances of Sr (black) and Si (red) lines, respectively

การวิเคราะห์ทางสถิติ

รายงานความถี่ของเส้นสำรวจน้ำที่ไม่ชัด วิเคราะห์การซ้อนทับของเส้นสำรวจน้ำกอัตราส่วนความยาวเส้น Si และ Sr ที่ซ้อนทับ และความยาวห่างจากเส้น Sr และวิเคราะห์ความเที่ยงตรงของ

เครื่องสำรวจความหนาในปากชนิดใหม่กับเครื่องสำรวจความหนาแบบเดิม จากการเปรียบเทียบระยะแนวเดิ่งจากจุดอ้างอิงปลายพื้นด้านบนเคี้ยวไปยังเส้น Si และ Sr ในตำแหน่งต่าง ๆ โดยใช้สถิติสหสัมพันธ์ภายในชั้น (intraclass correlation: ICC) ที่ระดับ

ความเชื่อมั่นเท่ากับร้อยละ 95 หากมีค่าสัมประสิทธิ์สหสัมพันธ์ภายในขั้นต่ำกว่า 0.50 ถือว่าความสอดคล้องในระดับต่ำ และตั้งแต่ 0.50-0.75 และ 0.90 ขึ้นไปถือว่ามีความสอดคล้องกันในระดับพอใช้ได้ และตีมากตามลำดับ²¹

ผลการศึกษา

พบเส้นสำรวจที่ไม่ชัด ร้อยละ 3.01 ของด้านศึกษาทั้งหมด 864 ด้าน โดยพบในขารรไกรล่างมากกว่าขารรไกรบน การวางแผนพิมพ์กำหนดตำแหน่งที่ฟันกรามน้อยพบเส้นสำรวจที่ไม่ชัดมากที่สุด ดังแสดงในตารางที่ 2

จากด้านศึกษาทั้งหมด 864 ด้าน พบรการซ้อนทับของเส้น Si และ Sr อย่างสมบูรณ์ตลอดเส้น 696 ด้าน คิดเป็นร้อยละ 80.56 ของด้านศึกษาทั้งหมด ในด้านที่มีการซ้อนทับไม่สมบูรณ์พบว่า เส้น Si อยู่สูงกว่าเส้น Sr ในทางด้านบเดียว ร้อยละ 85.12

ตารางที่ 2 ค่าสัมประสิทธิ์สหสัมพันธ์ภายในขั้นของเส้น Si และ Sr และค่าร้อยละของเส้น Si ไม่ชัด

Table 2 Intraclass correlation coefficient (ICC) of Si and Sr lines and number of surfaces with ill-defined Si lines

Categories		Number of surfaces	Number of measurements	ICC (95% CI)	Ill-defined line (%)
Arches	Ui	48	144	0.922 (0.878-0.948)	2.78
	Li	45	135	0.952 (0.893-0.974)	3.70
	Up	45	135	0.983 (0.954-0.992)	0.74
	Lp	42	126	0.938 (0.898-0.961)	10.32
	Um	54	162	0.909 (0.832-0.945)	0
	Lm	54	162	0.969 (0.935-0.982)	1.85
Type of arches	Upper	147	441	0.944 (0.906-0.964)	1.13
	Lower	141	423	0.959 (0.926-0.975)	4.96
Tray position	Incisal region	93	279	0.936 (0.894-0.958)	3.23
	Canine-Premolar region	87	261	0.968 (0.942-0.981)	5.36
	Molar region	108	324	0.947 (0.902-0.968)	0.93
Operator	1	96	288	0.960 (0.916-0.977)	3.47
	2	96	288	0.955 (0.923-0.971)	2.78
	3	96	288	0.939 (0.901-0.960)	2.78
Overall		288	864	0.949 (0.907-0.968)	3.01

Average measures, two-way mixed effects model, absolute agreement

ICC = intraclass correlation coefficient, CI = confidential interval, p-value < 0.01

U and L indicated upper, lower arch

i, p, m indicated locations of positioning tray on incisal, canine-premolar and molar region, respectively

ลักษณะที่มีการซ้อนทับไม่สมบูรณ์พบในขารรไกรบนมากกว่า ขารรไกรล่าง การวางแผนพิมพ์กำหนดตำแหน่งที่ฟันกรามน้อยพบการซ้อนทับไม่สมบูรณ์มากที่สุด เมื่อพิจารณาตามทันตแพทย์ผู้ใช้เครื่องมือ พบรการซ้อนทับไม่สมบูรณ์ ร้อยละ 15.63 ถึง 23.61 ดังแสดงในตารางที่ 3

การวิเคราะห์ความเที่ยงตรงโดยพิจารณาจากความสอดคล้องของเส้นสำรวจที่ได้จากการซ้อนทับในปากชนิดใหม่ เทียบกับเครื่องสำรวจความขานในทุกขารรไกรด้วยสถิติสหสัมพันธ์ภายในการน้อยได้ค่า ICC เท่ากับ 0.949 โดยขารรไกรบนและล่างมีค่า ICC เท่ากับ 0.944 และเท่ากับ 0.959 ตามลำดับ เมื่อวิเคราะห์ตามสถานที่ฟันกรามน้อยและฟันหลังพบว่ามีค่า ICC เท่ากับ 0.936, 0.968 และ 0.947 ตามลำดับ เมื่อวิเคราะห์ตามผู้ใช้เครื่องมือพบว่ามีค่า ICC อยู่ระหว่าง 0.939 ถึง 0.960 ดังแสดงในตารางที่ 2

ตารางที่ 3 ผลของการบันทึกการซ้อนกันของเส้น Si และ Sr

Table 3 Number of surfaces with complete and incomplete overlapping of Si and Sr lines

Categories	Survey lines overlapping	Complete						Incomplete survey lines overlapping (surfaces)						Total surfaces	
		Above			Below			Buccal			Lingual				
		M	Mid	D	M	Mid	D	M	Mid	D	M	Mid	D		
Arches	Ui	116	4	10	3	4	1	3	3	3	28	19.44	144		
	Li	119	1	7	2	2		2	2		16	11.85	135		
	Up	107	2	7	3	1	3	3	6	2	28	20.74	135		
	Lp	96	4	10	2	2	1	2	5	2	30	23.81	126		
	Um	125	11	14	8	1		2	1		37	22.84	162		
	Lm	133	4	11	3	1	2	2	4	2	29	17.90	162		
Type of arches	U	348	17	31	14	1	8	2	8	10	2	93	21.09	441	
	L	348	9	28	7	3	6	1	2	8	9	2	75	17.73	423
Tray position	i	235	5	17	5	6	1	5	5	5	44	15.77	279		
	p	203	6	17	5	3	5	2	5	11	4	58	22.22	261	
	m	258	15	25	11	1	3	2	6	3	66	20.73	324		
Subject	1	233	7	24	5	1	5	1	5	5	1	55	19.10	288	
	2	243	10	12	7	4	1	1	4	4	2	45	15.63	288	
	3	220	9	23	9	3	5	1	7	10	1	68	23.61	288	
Total		696	26	59	21	4	14	3	2	16	19	4	168	19.44	864

U and L indicated upper, lower arch

i, p, m indicated locations of positioning tray on incisal, canine-premolar and molar region, respectively

Above, Below indicated the position of Si as related to Sr line, towards occlusal surfaces.

M, Mid, D indicated the location on each surface where mesial 1/3, middle 1/3 and distal 1/3, respectively

บทวิจารณ์

การปรับปรุงและทดสอบเครื่องสำรวจความพึงพอใจในภาคชนิดใหม่ เพื่อใช้ประเมินความพึงพอใจและค่ารูปฟัน ช่วยในการเตรียมฟันหลักในงานฟันเทียมบางส่วนถอดได้ เครื่องมือที่ใช้ต้องมีขนาดเล็ก มีความแข็ง (rigidity) เพื่อไม่ให้บิดงอขณะใช้งาน และราคาไม่แพง โดยปรับปรุงเครื่องสำรวจความพึงพอใจในภาคชนิดใหม่ ซึ่งออกแบบโดย Doungratraiphop และคณะ¹⁷ และนำไปทดสอบใช้งานจริงในอาสาสมัคร โดยเปลี่ยนส่วนข้อต่อทั้งหมดเป็นอตโนมัติ ทำให้บริเวณข้อต่อมีความแข็งแรงมากขึ้นและใช้งานลื่นไหล สร้างอุปกรณ์กำหนดความพึงพอใจใหม่ที่สามารถยึดจับแบบกระดาษหารอยสบพัน แทนการใช้สีเดินสองที่หักง่ายและไม่ค่อยติดสีที่ฟัน ทำให้สามารถดัดเส้นบนฟันธรรมชาติได้ง่ายและมีความแข็งแรง ซึ่งสามารถใช้กับแบบกระดาษหารอยสบพันทั่วไปที่มีใช้ในคลินิกอย่างไร้กังวล ควรทำให้บริเวณที่ฟันสะอาดและแห้งก่อนทำการสำรวจความพึงพอใจให้ติดสีได้ง่ายและได้เส้นสำรวจที่ชัด และผู้ใช้เครื่องสามารถเปลี่ยนแบบกระดาษหารอยสบพันได้ตลอดการใช้งาน ทำการตัดแปลงแบบเพื่อให้พอดีกับข้อส่วนต่าง ๆ ที่มีการเปลี่ยนแปลง และสร้างอุปกรณ์เพิ่มเติม ได้แก่ เครื่องมือถ่ายโอนใช้ถ่ายทอดแนวโน้มจากเครื่องสำรวจความพึงพอใจแบบดั้งเดิมไปยังฟันในภาค และสร้างถาดพิมพ์กำหนดตำแหน่ง 3 ขนาดคือ เล็ก กลาง และใหญ่ มีข้อดี คือ ทำให้สามารถเลือกขนาดได้เหมาะสมกับฟันและขั้นตอนการรักษาของผู้ป่วย เพื่อให้เครื่องมือมีขนาดเล็กที่สุดแต่สามารถยึดจับบนฟันได้ดีและเห็นพื้นที่ในการทำงานเพิ่มมากขึ้น แต่อย่างไรก็ตามแนะนำให้ผู้ใช้งานเครื่องสำรวจความพึงพอใจในภาคชนิดใหม่ตรวจสอบตำแหน่งของถาดพิมพ์กำหนดตำแหน่งที่ยึดกับฟันให้เข้าที่ทุกครั้งก่อนเริ่มการสำรวจ เพื่อลดความคลาดเคลื่อนของเส้นสำรวจ นอกจากนี้เครื่องสำรวจความพึงพอใจในภาคชนิดใหม่ยังสามารถนำไปใช้สำรวจข้อฟันได้เช่นเดียวกับเครื่องสำรวจความพึงพอใจในภาคชนิดเดิม

การสร้างเครื่องสำรวจความพึงพอใจในภาคชนิดใหม่ด้วยเครื่องพิมพ์สามมิติด้วยวัสดุเรซิโนน มีข้อดี คือ สร้างขึ้นง่าย มีน้ำหนักเบา ราคาถูก เมื่อเทียบกับวัสดุโลหะ แต่มีข้อจำกัดคือความแข็งแรงขึ้นกับน้ำยาเรซิโนนที่ใช้ โดยวัสดุเป็นโพลีเมอร์ทำให้กระบวนการข้ามตัวด้วยความร้อนสูงจะทำให้ขั้นตอนบิดเบี้ยวได้ อย่างไรก็ตาม เมื่อถูกอ้างอิงตามแนวทางในการทำให้ปราศจากเชื้อและการฆ่าเชื้อ²² ซึ่งจัดอยู่ในกลุ่มอุปกรณ์ทางการแพทย์ที่มีความเสี่ยงปานกลาง (semi-critical items) ที่ไม่มีการรักษาเข้าไปในเนื้อเยื่อในช่องปาก วัสดุดังกล่าวสามารถฆ่าเชื้อด้วยน้ำยาทำลายเชื้อ (disinfection) ในกลุ่มกลูตารัลไดอิด, ไฮโดรเจนเพอร์ออกไซด์ และเอทิลแอลกอฮอล์ได้ ในการศึกษานี้ให้ผู้ใช้เครื่องมือศึกษาคุณมีวิธีการใช้ได้รับการสาธิต วิธีการใช้ และมีการฝึกใช้เครื่องสำรวจความพึงพอใจในภาคชนิดใหม่

ในโน้ตเดลฟันก่อนการปฏิบัติจริงในอาสาสมัคร เพื่อให้ผู้ใช้รู้จักกิจกรรม ทำงานของเครื่องสำรวจความพึงพอใจได้อย่างถูกต้อง อย่างไรก็ตามมีข้อจำกัดของการใช้เครื่องมือ เช่น อ้าปากได้ปกติ และไม่มีการซ่อนของฟันในระดับรุนแรงเพื่อให้สามารถติดตั้งถาดพิมพ์ กำหนดตำแหน่งได้เสียหาย โดยกำหนดเกณฑ์การตัดเลือกอาสาสมัครเข้าร่วมการวิจัย เพื่อลดปัจจัยรบกวนจากข้อจำกัดของเครื่องมือ สำหรับวิธีการเก็บข้อมูลเส้นสำรวจในการศึกษานี้ใช้เครื่องพิมพ์แบบสามมิติและเครื่องสแกนสามมิติทางห้องปฏิบัติการซึ่งมีความเที่ยงตรงและแม่นยำเพียงพอต่อการนำข้อมูลมาวิเคราะห์²³

การใช้เครื่องสำรวจความพึงพอใจในภาคชนิดใหม่ในขั้นตอนและวางแผนดำเนินการที่ฟันหลัง มีความชัดของเส้นอย่างสมบูรณ์ในทุกด้าน ส่วนเส้นสำรวจที่ไม่ชัดคิดเป็นร้อยละ 3.01 ของด้านศึกษาทั้งหมด พบริเวณขั้นตอนและวางแผน ถาดพิมพ์กำหนดตำแหน่งที่ฟันกรามน้อยมากที่สุด ซึ่งสาเหตุความไม่ชัดของเส้นสำรวจอาจเกิดจากความยากง่ายของการใช้เครื่องมือ ในตำแหน่งฟันกรามน้อยที่อยู่กึ่งกลางขั้นตอนและวางแผน ยกตัวอย่างเช่น การตัดสีของเส้นสำรวจแบบกระดาษหารอยสบพันที่มีน้ำลายมาก จะทำให้การติดสีของเส้นสำรวจแบบกระดาษหารอยสบพันไม่ชัด แนะนำการดูดน้ำลายบ่อย ๆ และเป่าฟันให้แห้งก่อนการสร้างเส้นสำรวจ ซึ่งการปรับปรุงปัจจัยต่าง ๆ ข้างต้น และใช้เครื่องสำรวจความพึงพอใจในภาคชนิดใหม่ในบริเวณดังกล่าวขึ้นจะทำให้ได้เส้นสำรวจที่ชัดขึ้น

การวิเคราะห์การซ่อนทับของเส้นสำรวจในภาคและเส้นสำรวจอ้าวอิง พบริเวณที่เส้นไม่สมบูรณ์คิดเป็นร้อยละ 19.44 ของด้านศึกษาทั้งหมด โดยส่วนใหญ่เป็นลักษณะของเส้น Si อยู่สูงกว่าเส้น Sr ไปทางด้านบดเคี้ยว ซึ่งสาเหตุความคลาดเคลื่อนที่เกิดขึ้นอาจเกิดจากหลายปัจจัย กล่าวคือ 1) ปัจจัยด้านวัสดุที่ใช้ทำเครื่องสำรวจความพึงพอใจในภาคชนิดใหม่ ทำมาจากเรซิโนน ซึ่งอาจมีการเปลี่ยนแปลงรูปปั่นได้เล็กน้อยเมื่อไม่แรงกระทำ สามารถแก้ไขได้โดยเปลี่ยนวัสดุที่ใช้ทำเครื่องสำรวจความพึงพอใจในภาคชนิดใหม่ให้มีความแข็งแรงขึ้น เช่น ใช้โลหะ เป็นต้น 2) ปัจจัยด้านการใช้งาน นำอุปกรณ์กำหนดความพึงพอใจไปใช้กับฟันที่อยู่เหนือส่วนป้อง สามารถป้องกันได้โดยเน้นย้ำการใช้งาน โดยรีบจากตำแหน่งที่อุปกรณ์กำหนดความพึงพอใจในระบบเดียวกับฟันก่อนแล้วค่อยเคลื่อนเข้าหาฟัน เพื่อให้ติดสีบริเวณส่วนป้องของฟัน 3) ปัจจัยความยืดหยุ่นของวัสดุพิมพ์แบบชิลิโคนชนิดพุตตี้ที่ใช้ร่วมกับถาดพิมพ์กำหนดตำแหน่ง ในกรณียึดจับฟันหลักเพื่อควบคุมให้เครื่องสำรวจความพึงพอใจในภาคชนิดใหม่ยื่นแนวนี้ที่

กำหนด สามารถแก้ไขได้โดยเปลี่ยนไปใช้วัสดุที่มีความแข็ง (rigid) มากขึ้น หรือยึดหยุ่นลดลง เช่น พาทเทินเรซิน (pattern resin) แต่การใช้พาทเทินเรซินจะมีข้อจำกัดคือ การเอาออกจากถอดพิมพ์ กำหนดตำแหน่ง ทำได้โดยการกรอหือการผ่าวัสดุออก ซึ่งอาจมีผลต่อถอดพิมพ์กำหนดตำแหน่งที่ทำการเรซินได้อย่างไรก็ตามการใช้วัสดุพิมพ์แบบอลูминิเดปัตตี้ที่มีความหนาเพียงพอดังที่มีความแข็ง (rigid) มากขึ้น ยึดหยุ่นลดลง และแนะนำให้ตรวจสอบความแนบของถอดพิมพ์กำหนดตำแหน่งก่อนและขณะการใช้งานทุกครั้ง จากข้างต้น ความคลาดเคลื่อนของเส้นสำรวจที่เกิดขึ้นในลักษณะดังกล่าว เมื่อนำเครื่องสำรวจความหนาแนบในปากชนิดใหม่ไปใช้ในขั้นตอนการเตรียมพื้น อาจทำให้ทันตแพทย์เข้าใจว่าความป่องของพื้นอยู่สูงและอาจกรอพื้นเพิ่มโดยไม่จำเป็น แต่อย่างไรก็ตามความคลาดเคลื่อนดังกล่าวพบบ่อย และสามารถลดได้ถ้าปรับปรุงปัจจัยต่าง ๆ ข้างต้น

จากการวิเคราะห์ความเที่ยงตรงของเส้นสำรวจ ด้วย สก็อตสหสัมพันธ์ภายในขั้น พบร่วมกับในระดับเดียว แสดงให้เห็นว่าเครื่องสำรวจความหนาแนบในปากชนิดใหม่สามารถใช้สำรวจความนูนป่องของพื้นได้ไม่แตกต่างจากการใช้เครื่องสำรวจความหนาแนบดังเดิมที่ใช้อกปากเมื่อยูในวิธีสำรวจเดียวกัน และเมื่อจำแนกการวิเคราะห์ตามขั้นตอนการกรอพื้นและล่าง หรือตามการวางแผนที่ใช้เครื่องสำรวจความหนาแนบในปากชนิดใหม่สามารถใช้งานได้ครอบคลุมบริเวณต่าง ๆ ในช่องปากทั้งขากรรไกรบนและล่าง รวมทั้งพื้นหน้าและพื้นหลัง และสามารถใช้งานได้โดยผู้ใช้ที่แตกต่างกัน

เมื่อพิจารณาปัญหาและข้อเสนอแนะในการตอบแบบสอบถามหลังการใช้เครื่องสำรวจความหนาแนบในปากชนิดใหม่ ของทันตแพทย์อาสาสมัครและอาสาสมัคร พบร่วมกับการใช้งานยากในบริเวณพื้นหลัง เมื่อว่าเครื่องมือจะมีขนาดเล็กแต่บริเวณพื้นหลังที่พื้นที่จำกัด การใช้นิ้วมือจับอุปกรณ์กำหนดความหนาแนบเพื่อสร้างเส้นสำรวจจึงทำได้ยาก มีคำแนะนำในเรื่องการออกแบบเครื่องมือจากผู้ใช้ คือเพิ่มแกนจับ หรือใช้ปากคีบ (forceps) ในการจับอุปกรณ์กำหนดความหนาแนบ หรือลดความยาวของอุปกรณ์กำหนดความหนาแนบ เพื่อให้สามารถเข้าสำรวจในบริเวณพื้นหลังได้ง่ายขึ้น จึงมีแนวทางการแก้ไขหรือปรับปรุงเครื่องสำรวจความหนาแนบในปากชนิดใหม่ ด้วยการสร้างอุปกรณ์กำหนดความหนาแนบที่มีหลายขนาด โดยอาจมีขนาดที่สั้นลงอีกสำหรับการใช้สร้างเส้นสำรวจในพื้นหลัง และออกแบบบริเวณที่จับของอุปกรณ์กำหนดความหนาแนบให้มีลักษณะเป็นร่องเล็กน้อย เพื่อให้สามารถใช้ปากคีบในการช่วยจับได้สะดวกมากขึ้น ในอาสาสมัคร พบร่วมกับเจ็บหรือหือในตำแหน่งพื้นหลังจากการใช้เครื่องมือที่ผู้ใช้อาจมองไม่ชัด และการใช้งานในผู้ป่วยที่อ้าปากได้น้อยหรือขากรรไกรล่างที่มีน้ำลายเยอะ การพิมพ์แบบและเทชั่นหล่อเพื่อไป

ใช้เครื่องสำรวจความหนาแนบปากอาจเป็นวิธีที่ง่ายกว่า ข้อจำกัดของการใช้งานเครื่องสำรวจความหนาแนบปากชนิดใหม่ คือ ไม่สามารถตรวจสอบส่วนคอดเนื้อเยื่อ (tissue undercut) ได้

บทสรุป

ภายใต้ข้อจำกัดต่าง ๆ ของงานวิจัยนี้สามารถสรุปได้ว่า การใช้งานเครื่องสำรวจความหนาแนบปากชนิดใหม่ในปากให้ลักษณะเส้นสำรวจพื้นที่มีความเที่ยงตรงไม่แตกต่างจากเส้นสำรวจบันชิ้นหล่อจากการใช้เครื่องสำรวจความหนาแนบดังเดิมของเนย์ เมื่อยูในแนวโน้มเดียวกัน

เอกสารอ้างอิง

- Bezzon OL, Mattos MGC, Ribeiro RF. Surveying removable partial dentures: the importance of guiding planes and path of insertion for stability. *J Prosthet Dent* 1997;78(4):412-8.
- Carabajal Mejia JB, Wakabayashi K, Nakamura T, Yatani H. Influence of abutment tooth geometry on the accuracy of conventional and digital methods of obtaining dental impressions. *J Prosthet Dent* 2017;118(3):392-9.
- Loney RW, Lee CJ, Michaud PL. Digital scanning to aid guiding plane and rest seat preparations for removable partial dentures. *J Prosthet Dent* 2017;118(5):581-583.
- Bai H, Ye H, Chen H, Wang Y, Zhou Y, Sun Y. Preparing guiding planes for removable partial dentures: an *in vitro* comparison between assisted CAD-CAM template procedure and freehand preparation. *J Dent* 2022;123:104166.
- Vitsentzos SI. A new device to directly examine parallelism of abutment teeth. *J Prosthet Dent* 1989;61(5):531-4.
- Canning T, O'Sullivan M. Acrylic resin jigs as an aid to parallel guiding plane preparation. *J Prosthet Dent* 2008;99(2):162-4.
- Waghorn S, Kuzmanovic DV. Technique for preparation of parallel guiding planes for removable partial dentures. *J Prosthet Dent* 2004;92(2):200-1.
- Haeberle CB, Abreu A, Metzler K. A Technique to Facilitate Tooth Modification for Removable Partial Denture Prosthesis Guide Planes: A Method of Tooth Modification for Guide Planes. *J Prosthodont* 2016;25(5):414-7.
- Bass EV, Kafalias MC. Controlled tooth and mouth preparation for fixed and removable prostheses. *J Prosthet Dent* 1988;59(3):276-80.
- O'Meeghan PD, Behrend DA. The guide pin technique for paralleling abutment preparations. *J Prosthet Dent* 1983;50(6):780-3.
- McCarthy MF. An intraoral surveyor. *J Prosthet Dent* 1989;61(4):462-4.
- Patil P. Modified measuring compass as an intraoral paralleling device. *Indian J Dent Res* 2010;21(3):452-3.
- Moschetti I, Berger P, Falk M, Hörl R, Hörlé M, Gausch K. Comparison

- of resin-bonded prosthesis groove parallelism with the use of four tooth preparation methods. *J Prosthet Dent* 1999;82(4):398-409.
14. Kopsiaftis CP. An intraoral paralleling instrument. *J Prosthet Dent* 1966;16(5):973-7.
 15. Der Weg zur Perfektion und zufriedenen Patienten. Intraorale Parallelometer [Internet]. 2010 [cited 2022 Oct 17]. Available from: <https://www.ipm-2010.com/downloads/literatur>
 16. Borges AB, Borges ALS, Uemura ES, de Arruda Paes-Júnior TJ, Tango RN, de Araújo JEJ, et al. Evaluation of a New Intraoral Paralleling Device for Creating Guiding Planes: A Pilot Study. *J Contemp Dent Pract* 2010;11(1):65-72.
 17. Doungtraiphop K, Buranadham S, Daosodsai P. Comparison of Survey Lines Obtained from the Newly Developed Intra-oral Surveyor and A Convention Dental Surveyor: An *in vitro* study. *J Dent Assoc Thai* 2022;72(2):363-72.
 18. Ivanhoe JR, Koka S. Intraoral recontouring aid. *J Prosthet Dent* 1996;75(4):443-5.
 19. Netti CA, Skirvin DR, Phelan PR, Jones TK. A simplified intraoral surveying device. *J Prosthet Dent* 1992;67(6):870-2.
 20. Sakornram R, Puasiri S, Aerarunchot S. Evaluation of the Survey Line Validity and Satisfaction When Using the Intraoral Surveyor Model II on the Customized Model. *Khon Kaen Dent J* 2019;22(2):89-100.
 21. Koo TK, Li MY. A Guideline of Selecting and Reporting Intraclass Correlation Coefficients for Reliability Research. *J Chiropr Med* 2016;15(2):155-63.
 22. Rutala WA, Weber DJ. Disinfection and Sterilization in Health Care Facilities. *Infect Dis Clin North Am* 2016;30(3):609-37.
 23. Nedelcu R, Olsson P, Nyström I, Rydén J, Thor A. Accuracy and precision of 3 intraoral scanners and accuracy of conventional impressions: A novel *in vivo* analysis method. *J Dent* 2018;69:110-8.